

УДК 539.3 + 537.228.1

ОБ ОСОБЕННОСТЯХ НАПРЯЖЕНИЙ В ДВУХ ЗАДАЧАХ  
ЭЛЕКТРОУПРУГОСТИ ДЛЯ КУСОЧНО-ОДНОРОДНОГО ТЕЛА

Саргсян А.М., Хачикян А.С.

Ա.Մ. Սարգսյան, Ա.Ս. Խաչիկյան

Կուռոր առ կուռոր համաստ մարմնի համար էլեկտրոստատիկան երկու  
լսնդիրներում լարումների եզակության մասին

Աշխատաբարում լուսավորվում է էլեկտրական և մեխանիկական դաշտերի կապակցածության  
ազդեցությունը բաղադրյալ սեպի միացման մակերևույթի եզրի դրականության լարումների և  
էլեկտրական դաշտի լարվածության վայրի վեց:

A.M. Sargsian, A.S. Khachikyan

On the behavior of stresses in two problems of Electroelasticity  
for a piecewise homogeneous body

В работе исследуется влияние связности электрических и механических полей на поведение упругих напряжений и напряженности электрического поля в окрестности края поверхности контакта кусочно-однородного клина.

Интерес к изучению эффектов взаимодействия механических полей с электромагнитными полями (пьезоэффект) связан с тем, что в различных областях современной техники стали широко применять функциональные элементы, изготовленные из высокоэффективных пьезоматериалов [1-3].

Методы же расчета таких элементов в одномерной постановке весьма приближенны и, как правило, не дают полной картины физических явлений, происходящих в них. Предложенный в [3] численно-аналитический метод расчета в двумерной постановке, применительно к пьезоэлектрическим трансформаторам, не может обеспечить необходимую точность из-за невыделенности асимптотических поведений решений вблизи концентраторов (края поверхности контакта секции возбуждения и генераторной секции).

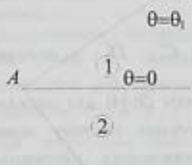
Определенный интерес представляет также учет влияния эффекта связности механических и электромагнитных полей в горных породах на флуктуации фона геофизических полей, необходимых при электроразведке и изучении землетрясений и земной коры геофизическими методами [4].

В настоящей работе исследуется влияние связности электрических и механических полей на поведение характеристик этих полей (упругие напряжения и напряженность электрического поля) в окрестности края поверхности контакта кусочно-однородных тел, находящихся в условиях продольного сдвига. Получены условия, при которых имеет место сильная концентрация характеристик этих полей, и формулы, определяющие их асимптотическое поведение.

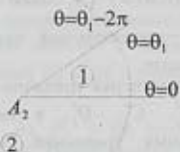
Рассматриваются две задачи электроупругости для кусочно-однородных призматических тел, поперечные сечения которых представлены на фиг. 1, 2.

Составные призматические тела изготовлены из пьезоматериалов классов 4mm, bmm и т.д., для которых возможны состояния продольного сдвига. Главные оси симметрии пьезоматериалов проходят через вершины

$A_1$ ,  $A_2$  и совпадают с осью z цилиндрической системы координат  $r$ ,  $\theta$ ,  $z$ .



Фиг. 1



Фиг. 2

При отсутствии массовых сил решение задачи электроупругости сводится к интегрированию систем дифференциальных уравнений [3]

$$\Delta U_j(r, \theta) = 0, \quad \Delta \Phi_j(r, \theta) = 0, \quad (j = 1, 2) \quad (1)$$

при соответствующих гранично-контактных условиях:

для первой задачи зададим следующие граничные

$$\begin{aligned} c_{44}^{(1)} \frac{\partial U_1}{\partial \theta} + e_{15}^{(1)} \frac{\partial \Phi_1}{\partial \theta} &= 0, \quad \theta = \theta_1 \\ \Phi_1(r, \theta_1) &= 0, \quad U_2(r, -\theta_2) = 0 \\ e_{15}^{(2)} \frac{\partial U_2}{\partial \theta} - \epsilon_2 \frac{\partial \Phi_2}{\partial \theta} &= 0, \quad \theta = -\theta_2 \end{aligned} \quad (2)$$

и контактные условия (на линии  $\theta = 0$ )

$$\begin{aligned} c_{44}^{(1)} \frac{\partial U_1}{\partial \theta} + e_{15}^{(1)} \frac{\partial \Phi_1}{\partial \theta} &= c_{44}^{(2)} \frac{\partial U_2}{\partial \theta} + e_{15}^{(2)} \frac{\partial \Phi_2}{\partial \theta} \\ U_1(r, 0) &= U_2(r, 0), \quad \Phi_1(r, 0) = \Phi_2(r, 0) \\ e_{15}^{(1)} \frac{\partial U_1}{\partial \theta} - \epsilon_1 \frac{\partial \Phi_1}{\partial \theta} &= e_{15}^{(2)} \frac{\partial U_2}{\partial \theta} - \epsilon_2 \frac{\partial \Phi_2}{\partial \theta} \end{aligned} \quad (3)$$

Для второй задачи кроме контактных условий (3) существуют аналогичные условия и на линии  $\theta = \theta_1$  (фиг.2)

$$\begin{aligned} c_{44}^{(1)} \frac{\partial U_1}{\partial \theta} + e_{15}^{(1)} \frac{\partial \Phi_1}{\partial \theta} \Big|_{\theta=\theta_1} &= c_{44}^{(2)} \frac{\partial U_2}{\partial \theta} + e_{15}^{(2)} \frac{\partial \Phi_2}{\partial \theta} \Big|_{\theta=\theta_1-2\pi} \\ U_1(r, \theta_1) &= U_2(r, \theta_1 - 2\pi), \quad \Phi_1(r, \theta_1) = \Phi_2(r, \theta_1 - 2\pi) \\ e_{15}^{(1)} \frac{\partial U_1}{\partial \theta} - \epsilon_1 \frac{\partial \Phi_1}{\partial \theta} \Big|_{\theta=\theta_1} &= e_{15}^{(2)} \frac{\partial U_2}{\partial \theta} - \epsilon_2 \frac{\partial \Phi_2}{\partial \theta} \Big|_{\theta=\theta_1-2\pi} \end{aligned} \quad (4)$$

где  $U_j(r, \theta)$  - упругие перемещения,  $\Phi_j(r, \theta)$  - электрические потенциалы,  $c_{44}^{(j)}$  - модули упругости,  $e_{15}^{(j)}$  - пьезомодули,  $\epsilon_j$  - диэлектрические проницаемости соответствующих областей.

Первые и четвертые условия в (2) - (4) получаются при помощи уравнений состояния [3]

$$\begin{aligned} \tau_{\theta\theta}^{(j)} &= c_{44}^{(j)} \gamma_{\theta\theta}^{(j)} - e_{15}^{(j)} E_{\theta}^{(j)}, \quad \tau_{rr}^{(j)} = c_{44}^{(j)} \gamma_{rr}^{(j)} - e_{15}^{(j)} E_r^{(j)} \\ D_{\theta}^{(j)} &= e_{15}^{(j)} \gamma_{\theta\theta}^{(j)} + \epsilon_j E_{\theta}^{(j)}, \quad D_r^{(j)} = e_{15}^{(j)} \gamma_{rr}^{(j)} + \epsilon_j E_r^{(j)} \\ \gamma_{\theta\theta}^{(j)} &= \partial U_j / r \partial \theta, \quad \gamma_{rr}^{(j)} = \partial U_j / \partial r, \quad E_{\theta}^{(j)} = -\partial \Phi_j / r \partial \theta, \quad E_r^{(j)} = -\partial \Phi_j / \partial \theta \end{aligned} \quad (5)$$

Здесь  $\tau_{\theta\theta}$ ,  $\tau_{rr}$ ,  $\gamma_{\theta\theta}$ ,  $\gamma_{rr}$  - компоненты упругих напряжений и деформаций,  $D_{\theta}$ ,  $D_r$ ,  $E_{\theta}$ ,  $E_r$  - компоненты векторов электрической индукции и напряженности электрического поля.

Методом разделения переменных [5] для решения уравнения (1) находим

$$\Phi_j(r, \theta) = r^j (C_j \cos \lambda \theta + D_j \sin \lambda \theta)$$

$$U_j(r, \theta) = r^\lambda (A_j^* \cos \lambda \theta + B_j^* \sin \lambda \theta) \quad (6)$$

где  $\lambda$  — произвольный параметр,  $A_j^*$ ,  $B_j^*$ ,  $C_j^*$ ,  $D_j^*$  — неизвестные постоянные.

Удовлетворяя гранично-контактным условиям (2)-(4) для определения  $A_j^*$ ,  $B_j^*$ ,  $C_j^*$ ,  $D_j^*$ , в каждой задаче получаем систему линейных однородных уравнений. Из условий существования нетривиальных решений этих систем вытекают следующие уравнения относительно  $\lambda$ : для первой задачи

$$A_1 \cos \lambda \theta_+ + A_2 \cos \lambda \theta_- + A_3 \cos \lambda \theta_1 + A_4 \cos \lambda \theta_2 + A_5 = 0 \quad (7)$$

где

$$\theta_\pm = \theta_1 \pm \theta_2, \quad A_1 = h a_+ b_+ - g_2 e_+, \quad A_2 = h a_- b_- - g_2 e_-$$

$$A_3 = h(a_+ b_- + a_- b_+) - 2g_2 - g_3, \quad A_4 = A_3 - g_2$$

$$A_5 = h(a_+ b_+ + a_- b_-) - g_3 + g_4, \quad h = \varepsilon(\varepsilon + a_0 e)$$

$$b = (1 + a_0)/(\varepsilon + a_0 e), \quad g_2 = a_0 \varepsilon (a - e), \quad g_3 = 4a_0 e (\varepsilon - e)$$

$$g_4 = 4a_0(1 + a_0)e^2, \quad a_\pm = a \pm 1, \quad b_\pm = b \pm 1, \quad \varepsilon = \varepsilon_1/\varepsilon_2$$

$$a = c_{44}^{(2)}/c_{44}^{(1)}, \quad e = e_{15}^{(2)}/e_{15}^{(1)}, \quad a_0 = (e_{15}^{(1)})^2/c_{44}^{(1)} \varepsilon_1$$

для второй задачи

$$[\sin^2 \lambda \pi - y_1 \sin^2 \lambda(\pi - \theta_1)] [\sin^2 \lambda \pi - y_2 \sin^2 \lambda(\pi - \theta_1)] = 0 \quad (8)$$

где

$$y_{1,2} = [2A_+ A_- - C \pm \sqrt{C(C - 4A_+ A_-)}]/2A_+^2$$

$$A_\pm = a_\pm \varepsilon_\pm + a_0 e_\pm^2, \quad C = 4[4a_0(a - e)(\varepsilon - e) + (a - \varepsilon)^2] \quad (9)$$

При конкретных значениях параметров  $\theta_j$ ,  $a$ ,  $e$ ,  $\varepsilon$ ,  $a_0$  уравнения (7) и (8) имеют бесконечное множество физически допустимых корней  $\lambda_m$  ( $m = 1, 2, 3, \dots$ ), которые могут быть пронумерованы по порядку возрастания их действительных частей ( $0 < \operatorname{Re} \lambda_1 < \operatorname{Re} \lambda_2 < \dots$ ) [5-7].

Упругое перемещение и электрический потенциал в окрестности края соединения представляется в виде суммы

$$U_j(r, \theta) = \sum_{(\lambda_m)} r^{\lambda_m} (A_{lm} \cos \lambda_m \theta + B_{lm} \sin \lambda_m \theta)$$

$$\Phi_j(r, \theta) = \sum_{(\lambda_m)} r^{\lambda_m} (C_{lm} \cos \lambda_m \theta + D_{lm} \sin \lambda_m \theta) \quad (6')$$

где суммирование распространяется на все положительные корни уравнений (7) или (8).

Из (5) и (6') следует, что если  $0 < \operatorname{Re} \lambda_1 < 1$ , то характеристики связанных полей (упругие напряжения и компоненты вектора электрической индукции) в окрестности угловых точек  $A_j$  ( $j = 1, 2$ ) стремятся к бесконечности (концентрационное состояние), при этом порядок особенности равен  $|\operatorname{Re} \lambda_1 - 1|$ . Если  $\operatorname{Re} \lambda_1 > 1$ , характеристики полей убывают до нуля при приближении к точкам  $A_j$  (малонапряженное состояние). В случае  $\operatorname{Re} \lambda_1 = 1$  эти характеристики в

угловых точках конечны и вообще отличны от нуля (предельное состояние).

Следовательно, исследование особенности характеристик полей около угловых точек  $A_j$  приводится к отысканию корней с наименьшей положительной действительной частью уравнений (7) и (8) в зависимости от параметров  $\theta_j, a, e, \epsilon, a_0$ .

При отсутствии пьезоэфекта ( $e_{15} = 0$ ) из (7) и (8) получаются известные уравнения, определяющие особенность характеристик полей в соответствующих задачах теории упругости и электростатики [6,7].

В общем случае легко показать, что при фиксированных значениях  $a, e, \epsilon, a_0$  предельные кривые (определенные из (7) при условии  $\operatorname{Re} \lambda_1 = 1$ ), разделяющие в плоскости  $\theta_1, \theta_2$  области малонапряженности и концентрации, проходят через точки  $(\pi/2, 0)$  и  $(0, \pi/2)$ , пересекая прямую  $\theta_1 = \theta_2$  в точках  $\theta_1^*$ , соответствующих различным парам соединяемых пьезоматериалов. Значение  $\theta_1^*$  определяется из (7) при условии  $\operatorname{Re} \lambda_1 = 1$ .

При равенстве углов растворов однородных клиньев с помощью (7) явно определяется первый корень  $\lambda_1$  в зависимости от параметров задачи и угла  $\theta_1$ .

В предлагаемой таблице для некоторых реальных соединяемых пар [10] приведены также предельные углы  $\theta_1^*$ , меньше (больше) которых в окрестности точки  $A_1$  имеет место малонапряженное (концентрационное состояние).

Таблица

Материалы соединяемых пар	Действительная часть первого корня	Предельный угол
ЦТС4-ZnO	$\sigma_1 \approx \pi/8\theta_1$	$\theta_1^* \approx \pi/8$
ЦТС4-CdS	$\sigma_1 \approx \pi/2\theta_1$	$\theta_1^* \approx \pi/2$
ZnO-CdS	$\lambda_1 \approx 0,09\pi/\theta_1$	$\theta_1^* \approx 0,09\pi$
ЦТС19-ZnO	$\sigma_1 \approx 0,214\pi/\theta_1$	$\theta_1^* \approx 0,214\pi$
ЦТС4- ЦТС19	$\sigma_1 \approx \pi/4\theta_1$	$\theta_1^* \approx \pi/4$

Для частного случая однородного клина, полагая в (7)  $a = \epsilon = e = 1$ , получим

$$\Delta(\lambda) = \cos 2\lambda\theta_+ + 1 + 2a_0 = 0 \quad (10)$$

Приравнивая нулю действительную и мнимую части  $\Delta(\lambda)$ , легко показать, что уравнение (10) имеет только комплексные корни и степень особенности напряжений для однородного клина при данных граничных условиях определяется формулой

$$\lambda_1 = \pi/2\theta_+ \pm i\tau_0 \quad (11)$$

где  $\tau_0$  - точки пересечения кривых  $y = \operatorname{ch} 2\tau\theta_+$  и  $y = (-1)^{k+1}(1 + 2a_0)$ .

Из (11) следует, что в случае однородного клина особенность напряжений не зависит от электроупругих параметров задачи. Этот частный случай был рассмотрен также в работах [8,9].

Как показано в работе [5], первый корень уравнения (8) при действительных значениях  $y_k < 1$  ( $k = 1, 2$ ) всегда меньше единицы. При других значениях  $y_k$  уравнение (8) может иметь и комплексные корни. Численные расчеты показывают, что для первых четырех вышеприведенных пар  $\operatorname{Re} \lambda_1 < 1$ , т.е. характеристики связанных полей бесконечно возрастают при приближении к угловой точке  $A_2$ . Аналогичная ситуация имеет место в случаях  $a = \varepsilon = e$ ;  $a = e = 1$ ,  $\varepsilon \neq 1$ ;  $\varepsilon = e = 1$ ,  $a \neq 1$  и др. Для пятой пары  $\lambda_1 = 1 + i\varepsilon$  ( $\varepsilon$  - малое положительное число), т.е. соединение работает как однородный материал. Это и следовало ожидать, т.к. в этом случае отношения соответствующих параметров близки к единице ( $a = 0.973$ ,  $\varepsilon = 1.117$ ,  $e = 0.756$ ).

В частном случае, когда  $C = 4A_+ A_-$ , что эквивалентно условию

$$c_{44}^{(1)} \varepsilon_1 + c_{15}^{(1)} e_{15}^{(1)} = c_{44}^{(2)} \varepsilon_2 + (e_{15}^{(2)})^2$$

из (8) и (9) следует уравнение

$$[\sin^2 \lambda \pi - (A_- / A_+) \sin^2 \lambda (\pi - \theta_1)]^2 = 0$$

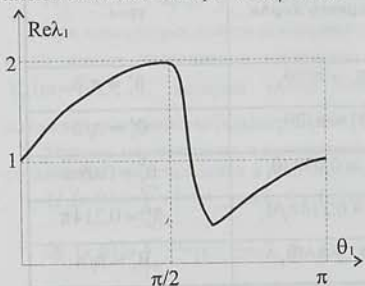
которое, как легко показать, при  $|A_-| < A_+$  ( $A_- < 0$ ) не имеет комплексных корней. Действительные корни в этом случае равны

$$\lambda_1 = nq \quad (n = 1, 2, 3, \dots)$$

при

$$\theta_1 = \pi p / q, \quad (p = 1, 2, 3, \dots; q = 1, 2, 3, \dots)$$

Это означает, что характеристики полей в окрестности точки  $A_2$  не имеют особенностей при  $0 < \theta_1 < 2\pi$ .



Фиг. 3

В общем случае зависимость  $\lambda_1$  от электромеханических и геометрических параметров составного тела достаточно сложная. На фиг. 3 приведен график изменения  $\operatorname{Re} \lambda_1$  в зависимости от  $\theta_1$  ( $0 \leq \theta_1 \leq \pi$ ) для случая  $y_1 = 4$ ,  $y_2 = 5$ , рассчитанный по (8). В интервале  $0 < \theta_1 \leq 2\pi$  график симметричен относительно линии  $\theta_1 = \pi$ . Видно, что пьезоэффект может изменить

около угловой точки  $A_2$  концентрационное состояние на малонапряженное. Расчеты показывают, что малонапряженное состояние имеет место также в других случаях, например, в случае  $y_1 = -0.6$ ,  $y_2 = -4$  всегда  $\operatorname{Re} \lambda_1 > 1$  для  $\theta_1$  из интервала  $0 < \theta_1 \leq 2\pi$ . При отсутствии пьезоэффекта ( $e_{15} = 0$ ) угловая точка  $A_2$  всегда является очагом сильной концентрации напряжений [5], если только  $a \neq 1$  и  $\theta_1 \neq \pi$ . Следовательно, в случае второй задачи пьезоэффект может существенно изменить поведения характеристик связанных полей в окрестности угловой точки кусочно-однородного тела.

Таким образом, получены решения для асимптотического поведения характеристик связанных полей в окрестности угловых точек (формулы (6')), которые могут быть использованы при построении более точных аналитических и численных решений.

#### ЛИТЕРАТУРА

1. Лавриенко В.В. Пьезоэлектрические трансформаторы. -М.: Энергия, 1975, 122с.
2. Кулиев Ю.Н. и др. Основы колебаний однослоиных и многослойных пьезокерамических преобразователей. -Баку: ЭЛМ, 1982, 365 с.
3. Парсон В.З. Курдячев Б.А. Электромагнитоупругость пьезоэлектрических электропроводных тел. -М.: Наука, 1988, 472 с.
4. Электроразведка. Справочник геофизика. -М.: Недра, 1980, 518 с.
5. Чобанян К.С. Напряжение в составных упругих телах. -Ереван: Изд-во АН АрмССР, 1987, 338 с.
6. Саргсян А.М., Хачикян А.С. Об одной антиплоской задаче электроупругости для составного тела. //Изв. НАН Армении, Механика, 1995, т. 48, №3, с. 15-23.
7. Саргсян А.М., Хачикян А.С. Поведение некоторых физических полей в окрестности края поверхности контакта кусочно-однородного тела. //Докл. АН АрмССР, 1988, т. 86, №4, с. 161-165.
8. Белубекян М.В., Галпчян П.В. Об особенностях электроупругого поля в окрестности угловой точки при антиплоской задаче. //Инженерно-физические проблемы новой техники. Тезисы докладов. М: 1992, с. 60-61.
9. Белубекян М.В., Галпчян П.В. Определение особенности связанных электроупругого поля в угловой точке пьезоэлектрического тела в виде двугранного угла при продольном сдвиге. //МТТ, 1994, №3, с. 102-108.
10. Акустические кристаллы (под редакцией М.П. Шаскольской). -М.: Наука, 1982, с. 632.

Институт механики  
НАН Армении

Поступила в редакцию  
13.06.1997

